

ФИЗИЧЕСКИЕ  
МЕТОДЫ ИССЛЕДОВАНИЯ

УДК 544.031,544.032.4

ПЕРЕСМОТР ДАННЫХ ПО ТЕРМОХИМИИ ФТОРИДОВ СКАНДИЯ

© 2023 г. М. И. Никитин<sup>a</sup>, Д. Б. Каюмова<sup>a</sup>, А. С. Алиханян<sup>a, \*</sup>

<sup>a</sup>Институт общей и неорганической химии им. Н.С. Курнакова РАН,  
Ленинский пр-т, 31, Москва, 119991 Россия

\*e-mail: alikhan@igic.ras.ru

Поступила в редакцию 26.03.2023 г.

После доработки 06.07.2023 г.

Принята к публикации 13.07.2023 г.

Проведен критический анализ литературных данных по исследованию равновесий газофазных реакций с участием фторидов скандия и монофторидов кальция и бария. Рекомендованы наиболее надежные величины  $\Delta_f H^\circ(0)$  газообразных  $\text{ScF}_3$  ( $-1251 \pm 15$  кДж/моль),  $\text{ScF}_2$  ( $-683 \pm 10$  кДж/моль) и  $\text{ScF}$  ( $-141 \pm 6$  кДж/моль). Эти значения и энергии последовательного отрыва атомов фтора хорошо согласуются с данными, полученными в результате квантово-механических расчетов.

**Ключевые слова:** фториды скандия, энталпии образования, энергии разрыва связей, масс-спектрометрическое исследование равновесий

DOI: 10.31857/S0044457X23601001, EDN: RLDJOR

ВВЕДЕНИЕ

Среди 3d-металлов скандий занимает особое место. При сравнимом наборе областей их применения его годовое производство не превышает 20 т, однако прогнозируется наращивание его производства в будущем [1]. Это не удивительно, поскольку скандий все чаще находит применение в системах выработки и хранения энергии, например, в твердооксидных топливных элементах [2] и для производства “зеленой” энергии [3]. Предполагается, что оксиды и фториды скандия могут сыграть важную роль в энергетическом переходе и инновационных технологиях по сокращению выбросов  $\text{CO}_2$  [4]. Кроме того, трифторид скандия привлекает внимание как материал с отрицательным тепловым расширением и размягчением под давлением [5]. Скандий рассматривается как стратегический ресурс, и отсутствие его месторождений в Европе заставляет исследователей искать процессы промышленного получения скандия из отходов других производств [6].

На сегодняшний день одним из основных способов получения металлического скандия является металлотермическое восстановление безводного  $\text{ScF}_3$  при помощи алюминия, кальция или магния [7]. В целом достаточно отработанная технология позволяет получать металлический скандий чистотой 99.99% и более.

К сожалению, опубликовано мало экспериментальных работ по термическому поведению фторидов скандия, и полученные в них результаты несколько разнятся. В связи с этим целью настоящей работы явится выбор наиболее достоверных

результатов для включения их в базы данных термодинамических характеристик фторидов и поиска корреляционных зависимостей с их участием. При этом необходимо использовать единую базу данных термодинамических функций и минимальное количество соединений с наиболее достоверными и точными энталпиями образования.

ЛИТЕРАТУРНЫЕ ЭКСПЕРИМЕНТАЛЬНЫЕ  
ДАННЫЕ И ИХ АНАЛИЗ

Фторид скандия(III)

Фторид скандия(III) имеет несколько полиморфных модификаций [8–10], некоторые из них устойчивы только при высоком давлении. Исследование устойчивости кубической, ромбоэдрической и орторомбической фаз [8] показало, что ромбическая фаза метастабильна при нормальных условиях, а кубическая фаза вообще не обнаружена. Методом ИК-спектроскопии в азотной, аргоновой и неоновой матрицах было показано, что изолированная молекула  $\text{ScF}_3$  имеет планарное строение с симметрией  $D_{3h}$  или  $C_{3v}$  [11]. В работе [12] масс-спектральным методом были определены энталпия сублимации и давление паров трифторида скандия. Стандартная энталпия образования кристаллического трифторида скандия  $\Delta_f H^\circ(\text{ScF}_3, k, 298.15 \text{ K}) = -1629 \pm 8$  кДж/моль, определенная методом фторной калориметрии [13], принята в [14] и в настоящей работе.

Термодинамические функции газообразного  $\text{ScF}_3$  рассчитаны в [15]. Проведенная в работе [14] по литературным данным [16] оценка низкотемпературной теплоемкости  $\text{ScF}_3(\text{k})$  позволила уточнить термодинамические функции кристаллического  $\text{ScF}_3$ . В работе [14] проанализированы опубликованные ранее результаты измерений давления насыщенного пара  $\text{ScF}_3$  и рекомендованы новые значения:  $\Delta_s H^\circ(\text{ScF}_3, 0) = 375 \pm 8$  и  $\Delta_f H^\circ(\text{ScF}_3, \text{г}, 0) = -1251 \pm 15$  кДж/моль. Известна только одна газовая реакция с участием газообразного  $\text{ScF}_3$ , равновесие которой исследовали в [17] (см. ниже).

### *Низшие фториды скандия*

Равновесия реакций с участием газообразных низших фторидов скандия исследовали в [17, 18] эффициональным методом Кнудсена. В обеих работах для анализа состава насыщенного пара и расчета парциальных давлений использовали метод высокотемпературной масс-спектрометрии. Ионизацию проводили электронным ударом при энергиях электронов на 5 эВ выше энергии появления молекулярного иона, определенной в этой же работе. Константы равновесия изомолекулярных газовых реакций рассчитывали как комбинации парциальных давлений, прямо пропорциональных соответствующим ионным токам. Подробнее данные [17, 18] рассмотрены ниже.

**Данные работы [17].** При нагревании металлического скандия и фторида кальция(II) в танталовой эффициональной камере до 1325–1485 К в газовой фазе были обнаружены молекулы  $\text{CaF}$ ,  $\text{ScF}_3$ ,  $\text{ScF}_2$ ,  $\text{ScF}$  и атомы Sc и Ca, связанные между собой несколькими реакциями (уравнения (1)–(3)). Результаты, полученные авторами, были представлены в виде точек на графиках температурных зависимостей констант равновесий этих реакций.

Оцифрованные данные из работы [17] приводят к следующим уравнениям (числа при уравнениях, включающих  $K^\circ$ , – коэффициенты корреляции):



$$0.999 \lg K^\circ(1) = -(1.303 \pm 0.040) + \\ + (3500 \pm 56)/T, \quad 2\text{CaF} + \text{Sc} = 2\text{Ca} + \text{ScF}_2, \quad (2)$$

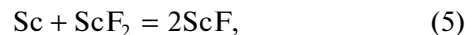
$$0.993 \lg K^\circ(2) = -(2.118 \pm 0.260) + \\ + (6828 \pm 365)/T, \quad 3\text{CaF} + \text{Sc} = 3\text{Ca} + \text{ScF}_3, \quad (3)$$

$$0.996 \lg K^\circ(3) = -(4.096 \pm 0.300) + \\ + (12701 \pm 421)/T.$$

Рассчитанные по этим уравнениям в соответствии с III законом энталпий реакций показаны в табл. 1. Для удобства дальнейшего сравнения с результатами [18] расчеты выполнены с термодинамическими функциями  $\text{ScF}$  и  $\text{ScF}_2$  из [18], остальных участников – из [19].

**Данные работы [18].** Методически эксперимент в [18] отличается использованием двойной эффициональной камеры из молибдена. Это позволило поднять температуру в “горячей” камере до 1946–2207 К, где и устанавливалось равновесие реакций в перегретом паре. Низшие фториды скандия и бария и атомы Sc и Ba образовывались в ней при восстановлении металлическим цирконием паров фторидов скандия(III) и бария(II), поступающих из “холодной” камеры.

Результаты расчетов энталпий реакций:



$$0.980 \lg K^\circ(5) = (0.649 \pm 0.054) - \\ - (2105.5 \pm 112.9)/T,$$

выполненные по III закону с набором термодинамических функций из тех же источников, что и выше, представлены в табл. 2.

Общим недостатком работ [17, 18] является отсутствие первичных экспериментальных данных и проверки достижения реакциями равновесия. Обычно авторы [18] показывали в своих работах независимость  $K^\circ$  от парциальных давлений участников реакции при постоянной температуре, которые могли меняться регулированием температуры “холодной” камеры.

Следует также отметить ряд вызывающих вопросы моментов:

1) в [17, 18] обнаружено присутствие в масс-спектрах молекулярного иона  $\text{ScF}_3^+$ , но реакции с участием  $\text{ScF}_3$  в [18] не рассматриваются;

2) в [17] на единственном рисунке кривых эффективности ионизации не указана температура;

3) и в [17], и в [18] не отмечен характер взаимодействия материалов эффициональных камер с исследуемыми веществами;

4) в [18] сказано о восстановлении  $\text{ScF}_3$  металлическим цирконием, очевидно, с образованием зарегистрированных в паре фторидов Zr, но равновесия реакций с их участием не рассматриваются.

Все это позволяет провести только ограниченный анализ полученных в работах [17, 18] результатов.

Средние арифметические значения энталпий реакций, полученных из уравнений температурных зависимостей констант равновесий (II закон) и табл. 1 и 2, приведены в табл. 3. Для величин энталпий реакций даны погрешности, определяемые воспроизводимостью. При выборе рекомендованных значений энталпий образования использовали энталпии реакций, рассчитанные только по III закону. Их погрешности, как и погрешности реакций (1)–(5) в табл. 3, определяются главным образом погрешностями энталпий обра-

**Таблица 1.** Термодинамические характеристики реакций (1)–(3).  $\lg K^\circ(N^*)$  из [17],  $[\Delta_r H^\circ((N) 0)]$ , кДж/моль

$T, \text{K}$	$\lg K^\circ(1)$	$-\Delta_r H^\circ((1) 0)$	$\lg K^\circ(2)$	$-\Delta_r H^\circ((2) 0)$	$\lg K^\circ(3)$	$-\Delta_r H^\circ((3) 0)$
1487	—	—	—	—	4.415	264.1
1485	1.054	63.3	2.515	136.8	—	—
1474	1.069	63.2	2.477	134.8	—	—
1473	—	—	2.600**	138.1**	—	—
1471	—	—	—	—	4.508	263.7
1462	1.123**	64.2**	—	—	4.615	265.2
1441	1.131	63.5	2.623	135.6	4.731	264.3
1413	1.138**	62.5**	—	—	—	—
1411	—	—	2.615**	132.7**	4.946	265.0
1406	—	—	2.754	136.0	—	—
1397	—	—	2.685**	133.3**	—	—
1396	1.200	63.4	—	—	4.985	263.2
1393	1.238**	64.3**	2.854**	137.3**	5.054	264.3
1368	1.262	63.7	2.846	134.7	5.162	262.5
1346	1.292	63.5	2.954	135.2	5.392	263.9
1331	—	—	3.031	135.8	—	—
1325	1.342	63.7	—	—	—	—
1320	—	—	—	—	5.477	261.2

\*  $N$  – номер реакции.

\*\* Измерения в дальнейших расчетах не использовали.

**Таблица 2.** Термодинамические характеристики реакций (4), (5).  $[\Delta_r H^\circ((N^*) 0)]$ , кДж/моль

$T, \text{K}$	$K^\circ(4)$ [18]	$\Delta_r H^\circ((4) 0)$	$K^\circ(5)$ [18]	$\Delta_r H^\circ((5) 0)$	$T, \text{K}$ [17]	$\lg K^\circ(5)$ [17]	$\Delta_r H^\circ((5) 0)$
1946	0.191	-15.1	0.370	24.2	1485	-0.369	11.0
1946	0.200	-15.8	0.360	24.7	1474	-0.462	13.5
1986	0.185	-14.3	0.399**	24.0**	1462	-0.377	11.0
1986	0.185	-14.3	0.407**	23.6**	1441	-0.354	10.2
2021	0.194	-14.8	0.411	24.3	1413	-0.477	13.3
2021	0.192	-14.7	0.408	24.4	1396	-0.285	8.1
2054	0.200	-15.1	0.430	24.3	1393	-0.295	10.5
2054	0.190	-14.3	0.420	24.7	1368	-0.323	8.9
2071	0.190	-14.1	0.417	25.2	1346	-0.369	9.9
2071	0.197	-14.8	0.444	24.2	1325	-0.348	9.2
2103	0.181	-13.0	0.442	25.0			
2103	0.183	-13.2	0.431	25.4			
2133	0.184	-13.1	0.462	25.0			
2133	0.193	-13.9	0.459	25.1			
2159	0.190	-13.4	0.430**	26.9**			
2159	0.190	-13.4	0.440**	26.5**			
2175	0.210	-15.1	0.490	24.9			
2175	0.190	-13.3	0.480	25.3			
2207	0.210	-14.8	0.490	25.7			
2207	0.210	-14.8	0.490	25.7			

\*  $N$  – номер реакции.

\*\* Измерения в дальнейших расчетах не использовали.

**Таблица 3.** Сравнение термодинамических характеристик реакций, рассчитанных по II и III законам ( $[\Delta_rS^\circ]$ , Дж/(моль К),  $[\Delta_rH^\circ]$ , кДж/моль)

Реакция, ссылка	Параметр	II закон	III закон
(1) [17]	$\Delta_rH^\circ(1400 \text{ K})$ $\Delta_rH^\circ(0)$ $\Delta_rS^\circ(1400 \text{ K})$ $\Delta_fH^\circ(\text{ScF}, 0)$	$-65.2 \pm 3.3$ $-74.2$ $-23.6 \pm 2.4$ —	— $-63.49 \pm 0.19$ $-16.0$ $-140 \pm 6$
(2) [17]	$\Delta_rH^\circ(1400 \text{ K})$ $\Delta_rH^\circ(0)$ $\Delta_rS^\circ(1400 \text{ K})$ $\Delta_fH^\circ(\text{ScF}_2, 0)$	$-130.7 \pm 7.0$ $-134.8$ $-40.6 \pm 5.0$ —	— $-135.55 \pm 0.7$ $-41.023$ $-655 \pm 8$
(3) [17]	$\Delta_rH^\circ(1400 \text{ K})$ $\Delta_rH^\circ(0)$ $\Delta_rS^\circ(1400 \text{ K})$ $\Delta_fH^\circ(\text{ScF}_3, 0)$	$-256.7 \pm 7.3$ $-267.623$ $-88.1 \pm 5.2$ —	— $-262.70 \pm 0.64$ $-85.3$ $-1245 \pm 10$
(4) [18]	$\Delta_rH^\circ(2100 \text{ K})$ $\Delta_rH^\circ(0)$ $\Delta_rS^\circ(200 \text{ K})$ $\Delta_fH^\circ(\text{ScF}, 0)$	Большой разброс экспериментальных данных	— $-14.26 \pm 0.81$ — $-141 \pm 6$
(5) [18]	$\Delta_rH^\circ(2100 \text{ K})$ $\Delta_rH^\circ(0)$ $\Delta_rS^\circ(2100 \text{ K})$ $\Delta_fH^\circ(\text{ScF}_2, 0)$		— $24.88 \pm 0.50$ $16.995$ $-683 \pm 10$
(5) [18]	$\Delta_rH^\circ(1400 \text{ K})$ $\Delta_rH^\circ(0)$ $\Delta_rS^\circ(1400 \text{ K})$ $\Delta_fH^\circ(\text{ScF}_2, 0)$		— $10.1 \pm 0.8$ $11.5$ $-667 \pm 12$

зования соединений CaF (5.1 кДж/моль) и BaF (6.7 кДж/моль). Для последних приведены значения, округленные до ближайшего целого числа.

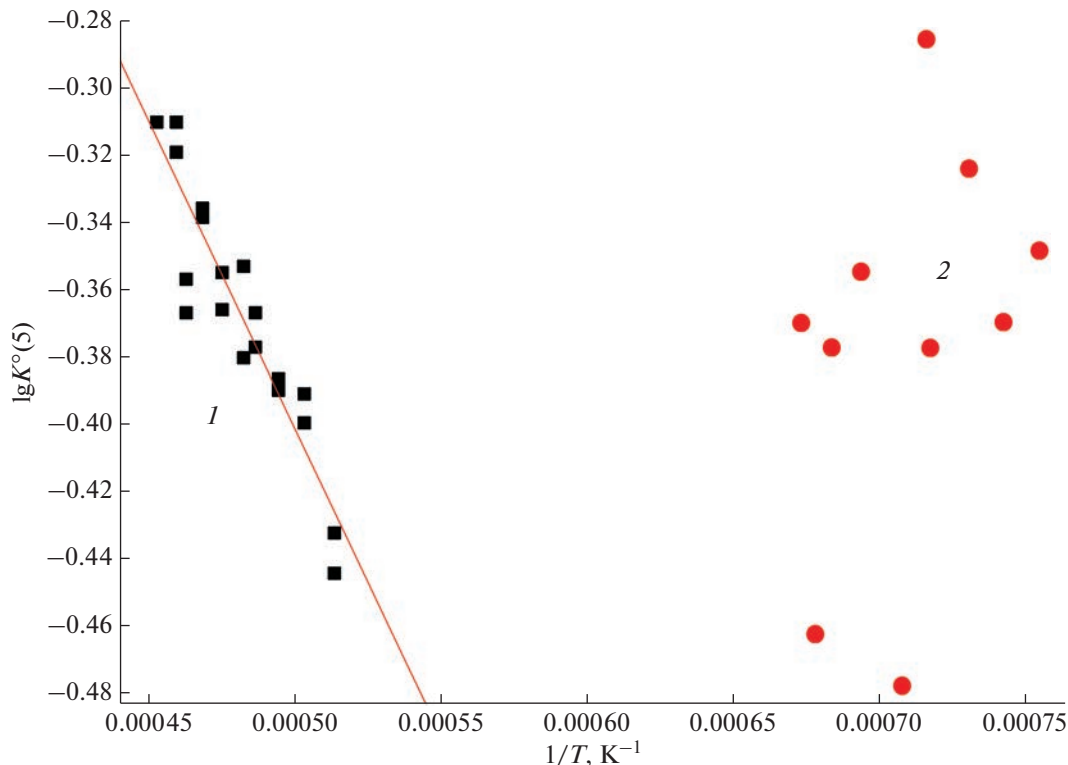
Большой разброс величин  $\lg K^\circ(4)$  в [18] делает расчеты по II закону нецелесообразными. Несмотря на это, из данных табл. 3 видно, что погрешность определяемая воспроизведимостью  $\Delta_rH^\circ((4), 0)$  невелика, а  $\Delta_fH^\circ(\text{ScF}, g, 0)$  оказывается практически такой же, как и рассчитанная по реакции (1) [17]. Учитывая хорошее совпадение значений  $\Delta_rH^\circ((1), 0)$ , найденных по II и III законам, для газообразного ScF рекомендована средняя арифметическая величина  $\Delta_fH^\circ(\text{ScF}, g, 0) = -141 \pm 6$  кДж/моль.

Идеального совпадения расчетов  $\Delta_rH^\circ(2)$  и  $\Delta_rS^\circ(2)$  по II и III законам недостаточно для установления надежного значения  $\Delta_fH^\circ(\text{ScF}_2, g, 0)$ . Подобный случай рассмотрен в [20].

В настоящей работе имеет смысл сравнить значения  $K^\circ(5)$  из [17] и рассчитанные по данным из [17] (табл. 2), наглядно это видно на рис. 1. Точки из работы [18] вполне удовлетворительно ложатся на прямую линию с приемлемым коэффициентом

корреляции и показывают хорошее совпадение расчетов по II и III законам, т.е. выполняется необходимый признак равновесия. Точки из [17] лежат гораздо правее прямой линии, это означает недостижение равновесия реакции (5) и, соответственно, реакции (2). Причиной этого может быть зависимость потоков фторидов скандия, образующихся на поверхности металлического скандия и/или кристаллического фторида кальция(II), от активностей (или меняющихся площадей поверхности) компонентов конденсированной фазы. По указанным выше причинам анализ, подобный проведенному в [20] для фторидов иридия, невозможен. Рекомендованной принята величина  $\Delta_fH^\circ(\text{ScF}_2, g, 0) = -683 \pm 10$  кДж/моль, рассчитанная по данным [18].

Величина  $\Delta_fH^\circ(\text{ScF}_3, g, 0) = -1251 \pm 15$  кДж/моль, полученная в [14], принята в этой работе как рекомендованная. Близкое значение ( $-1245$  кДж/моль) получено в работе [17] по реакции (3). Исключение его из числа надежных следует из-за возмож-



**Рис. 1.** Температурные зависимости константы равновесия реакции (5) из работ [17] (1) и [18] (2).  $\lg K^{\circ}(5) = (0.513 \pm 0.079) - (1826.6 \pm 164.9)/T$ . Коэффициент корреляции аппроксимирующей прямой равен 0.93384.

ного недостижения равновесного давления фторида скандия(III) (см. выше).

В табл. 4 проведено сравнение полученных в данной работе итоговых результатов с литературными данными и рассчитанными по ним энергиями разрыва связей.

Как правило, экспериментальные материалы об энергетике молекул появлялись раньше квантово-химических расчетов и служили критерием

правильности последних. Сравнение результатов работ [21–23] показывает очевидный прогресс расчетных работ. Совпадение в пределах погрешностей энергий разрыва связей для фторидов скандия, рассчитанных в [23] и определенных экспериментально, указывает на близость к тому времени, когда ситуация сменится на противоположную. Квантово-химические расчеты давно превзошли заявленную ранее цель “химической точности” ( $\pm 1$  ккал/моль) [24] и уже способны оценивать

**Таблица 4.** Стандартные энталпии образования и энергии разрыва связей молекул фторидов скандия, кДж/моль

Ссылка	$-\Delta_f H^{\circ}(\text{ScF}_n)$ , г, 0)*			$D_0^{\circ}(\text{ScF}_n - \text{F})$		
	3	2	1	2	1	0
[17]	$1245 \pm 10$	666.8	$141 \pm 6$	655.5	603.8	593.5
[18]		$683 \pm 10$	$141 \pm 10$	648.8	619.0	593.9
[23]	1263.8**	686.3**	136.3**	654.8	627.2	571.5
[14]	$1251 \pm 15$	—	—	—	—	—
[21]						602
[22]						579
Настоящая работа	$1251 \pm 15$	$683 \pm 10$	$141 \pm 6$	645.4	619.5	593.9

\* Погрешности энталпий образования  $\text{ScF}_n$  включают: погрешности энталпий реакций (1)–(5) и энталпий образования участвующих в них газообразных  $\text{Ca}$ ,  $\text{CaF}$ ,  $\text{BaF}$ ,  $\text{Sc}$ ,  $\text{ScF}_3$  [13, 18] и  $\text{ScF}$  из настоящей работы.

\*\* Рассчитано по  $\Delta_{\text{at}} H^{\circ}(\text{ScF}_n, 0)$  [23].

энергию связи с точностью до 1 кДж/моль [25, 26]. Такое положение дел потребует от экспериментаторов более тщательного планирования опытов и публикации не только “целевых” результатов, но и сопровождающую их дополнительную информацию.

## ЗАКЛЮЧЕНИЕ

Рекомендованные величины стандартных энталпий образования фторидов скандия представляются вполне надежными и могут быть включены в справочные издания и использоваться в научных и технических расчетах.

## ФИНАНСИРОВАНИЕ РАБОТЫ

Работа выполнена в рамках государственного задания ИОНХ РАН в области фундаментальных научных исследований.

## КОНФЛИКТ ИНТЕРЕСОВ

Авторы заявляют, что у них нет конфликта интересов.

## СПИСОК ЛИТЕРАТУРЫ

1. *Phoung S., Williams E., Gaustad G. et al.* // J. Clean. Prod. Elsevier. 2023. V. 401. P. 136673. <https://doi.org/10.1016/j.jclepro.2023.136673>
2. *Zakaria Z., Kamarudin S.K.* // Int. J. Energy Res. 2021. V. 45. P. 4871. <https://doi.org/10.1002/er.6206>
3. *Tang Y., Ding L.P., Dou X.L. et al.* // Inorg. Chem. 2022. V. 61, № 39. P. 15569. <https://doi.org/10.1021/acs.inorgchem.2c02314>
4. *van der Laan H., Orberger B., Dittrich C. et al.* // Light Metals. 2023. The Minerals, Metals & Materials Series. Springer, Cham. [https://doi.org/10.1007/978-3-031-22532-1\\_161](https://doi.org/10.1007/978-3-031-22532-1_161)
5. *Botelho A.B. Jr., Espinosa D.C.R., Vaughan J., Tenório J.A.S.* // Miner. Eng. 2021. V. 172. P. 107148. <https://www.sciencedirect.com/science/article/abs/pii/S0892687521003770>
6. *Wei Z., Tan L., Cai G. et al.* // Phys. Rev. Lett. 2020. V. 124, № 25. P. 255502. <https://doi.org/10.1103/PhysRevLett.124.255502>
7. *Wang C.* Theory and Application of Rare Earth Materials. Singapore: Springer, 2023. [https://doi.org/10.1007/978-981-19-4178-8\\_19](https://doi.org/10.1007/978-981-19-4178-8_19)
8. *Aleksandrova M.M., Bendeliani N.A., Blank V.D. et al.* // Izv. Akad. Nauk SSSR, Neorg. Mater. 1990. V. 26. P. 1028.
9. *Melnikov P., Komissarova L.N.* // J. Phys. Chem. Solids. 2006. V. 67, № 8. P. 1899. <https://doi.org/10.1016/j.jpcs.2006.03.006>
10. *de Araujo F.M.F., Duarte-Ruiz D., Saßnick H.D. et al.* // Inorg. Chem. 2022. V. 62. P. 4238. <https://doi.org/10.1021/acs.inorgchem.2c04357>
11. *Hastie J.W., Hauge R., Margrave J.* // J. Less Common Met. 1975. V. 39, № 2. P. 309. [https://doi.org/10.1016/0022-5088\(75\)90205-2](https://doi.org/10.1016/0022-5088(75)90205-2)
12. *Kent R.A., Zmbov K.F., Kana'an A.S. et al.* // J. Inorg. Nucl. Chem. 1966. V. 28. P. 1419. [https://doi.org/10.1016/0022-1902\(66\)80174-4](https://doi.org/10.1016/0022-1902(66)80174-4)
13. *Wagman D.D., Evans W.H., Parker V.B. et al.* Selected Values of Chemical Thermodynamic Properties. National Bureau of Standards. Technical Note 270-5. Washington, 1971.
14. *Осина Е.Л., Горохов Л.Н.* // Теплофизика высоких температур. 2017. Т. 55. № 4. С. 631.
15. *Осина Е.Л., Гусаров А.В.* // Теплофизика высоких температур. 2015. Т. 53. № 6. С. 858.
16. *Romao C.P., Morelock C.R., Johnson M.B. et al.* // J. Mater. Sci. 2015. V. 50. № 9. P. 3409.
17. *Zmbov K.F., Margrave J.L.* // J. Chem. Phys. 1967. V. 47. P. 3122. <https://doi.org/10.1063/1.1712362>
18. *Hildenbrand D.L., Lau K.H.* // J. Chem. Phys. 1995. V. 102, № 9. P. 3769. <https://doi.org/10.1063/1.468558>
19. *Гурвич Л.В., Вейц И.В., Медведев В.А. и др.* Термодинамические свойства индивидуальных веществ. Спр. изд. в 4-х т. М.: Наука, 1978–1982.
20. *Никитин М.И., Алиханян А.С.* // Журн. физ. химии. 2022. Т. 67. № 11. С. 1606.
21. *Kardahakis S., Koukounas C., Mavridis A.* // J. Chem. Phys. 2005. V. 122, № 5. P. 054312. <https://doi.org/10.1063/1.1834912>
22. *Langhoff S.R., Bauschlicher C.W., Partridge H.* // J. Chem. Phys. 1988. V. 89, № 1. P. 396. <https://doi.org/10.1063/1.455481>
23. *Соломоник В.Г., Муханов А.А.* // Журн. структур. химии. 2012. Т. 53. С. 34. <https://doi.org/10.7868/S0040364415060174>
24. *Kohn W.* // Rev. Mod. Phys. 1999. V. 71. P. 1253. <https://doi.org/10.1103/revmodphys.71.1253>
25. *Волохов В.М., Зюбина Т.С., Волохов А.В. и др.* // Журн. неорган. химии. 2021. V. 66, № 1. P. 69. <https://doi.org/10.31857/S0044457X21010116>
26. *Thorpe J.H., Lopez C.A., Nguyen T.L. et al.* // J. Chem. Phys. 2019. V. 150. P. 224102. <https://doi.org/10.1063/1.5095937>